

Оценка эффективных механических характеристик материала с микроструктурой

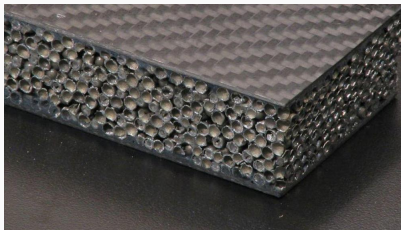
Студент: Дёмин М.Д.

Научный руководитель: Григорьева П.М., доцент ВШТМиМФ, д.ф.-м.н.

Консультант: Пашковский Д.М., программист НОЦ «Газпромнефть-Политех»

24.06.2024

Санкт-Петербургский Политехнический университет Петра Великого



- Прогнозирование свойств новых материалов на основе заданной микроструктуры;
- Создание цифровых двойников материалов;

Цель:

Определение эффективных упругих модулей и предела текучести двухфазного материала с учетом особенностей микроструктуры.

Задачи:

- Подбор набора микроструктурных параметров;
- Выбор схемы учет взаимодействия неоднородностей;
- Решение задачи гомогенизации для двухфазного материала;
- Определение эффективного предела текучести;
- Верификация моделей на экспериментальных данных;

Микроструктурные параметры

- Объемная доля неоднородностей: $\phi = \sum_i \frac{V_i}{V}$, где V_i - объем i -ой неоднородности, V - объем образца;
- Физические свойства изотропных матрицы и неоднородностей: $C_k = \lambda_k \mathbf{E}\mathbf{E} + 2\mu_k \mathbf{I}$, где $k = \{0, i\}$ для матрицы и i -ой неоднородности соответственно;
- Параметры формы неоднородностей: a_i, b_i, c_i ;
- Преимущественное направление неоднородностей: \mathbf{m} ;

Основные соотношения

Рассматривается задача теории упругости:

$$\nabla \cdot \boldsymbol{\sigma} + \rho \mathbf{f} = 0$$

Закон Гука:

$$\boldsymbol{\sigma} = \mathbf{C}_{eff} \cdot \boldsymbol{\varepsilon}, \quad \boldsymbol{\varepsilon} = \mathbf{S}_{eff} \cdot \boldsymbol{\sigma}, \quad \mathbf{C}_{eff} = \mathbf{S}_{eff}^{-1}$$

где \mathbf{C}_{eff} - тензор упругих модулей, \mathbf{S}_{eff} - тензор податливости.

Операция осреднения:

$$\langle \cdot \rangle = \frac{1}{V} \int_V \dots dV$$

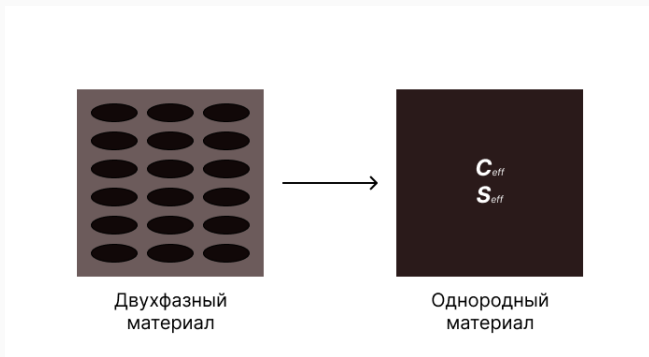
Осреднение тензоров напряжений и деформаций:

$$\langle \boldsymbol{\varepsilon} \rangle = \frac{V - \sum_i V_i}{V} \langle \boldsymbol{\varepsilon}_m \rangle + \sum_i \frac{V_i}{V} \langle \boldsymbol{\varepsilon}_{in}^i \rangle$$

$$\langle \boldsymbol{\sigma} \rangle = \frac{V - \sum_i V_i}{V} \langle \boldsymbol{\sigma}_m \rangle + \sum_i \frac{V_i}{V} \langle \boldsymbol{\sigma}_{in}^i \rangle$$

Задача гомогенизации

Общая схема задачи гомогенизации:

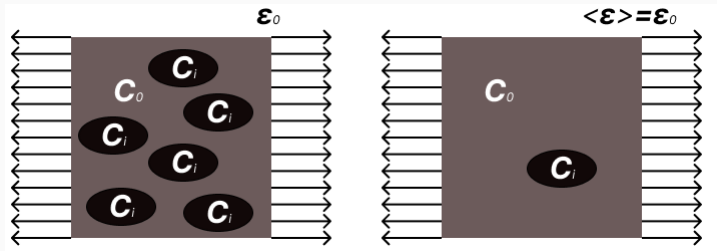


В результате получены следующие выражения для C_{eff} и S_{eff} :

$$C_{eff} = F(\phi, a, b, c, \mu_i, \lambda_i, \mathbf{m})$$

$$S_{eff} = F(\phi, a, b, c, \mu_i, \lambda_i, \mathbf{m})$$

Схема без учета взаимодействия неоднородностей



Закон Гука для матрицы и неоднородностей:

$$\langle \sigma_m \rangle = C_0 \cdot \langle \epsilon_m \rangle, \quad \langle \sigma_{in}^i \rangle = C_i \cdot \langle \epsilon_{in}^i \rangle$$

$$\langle \sigma \rangle = [C_0 + \phi(C_1 - C_0) \cdot \mathbf{L}_\epsilon] \cdot \langle \epsilon \rangle$$

где $\mathbf{L}_\epsilon = [I + P \cdot (C_1 - C_0)]^{-1}$ - тензор концентрации деформаций.

Эффективные тензоры упругих модулей и податливости:

$$C_{eff} = C_0 + \phi(C_1 - C_0) \cdot \mathbf{L}_\epsilon$$

$$S_{eff} = S_0 + \phi(S_1 - S_0) \cdot \mathbf{L}_\sigma$$

Идея: помещение неоднородности в некоторое эффективное поле.

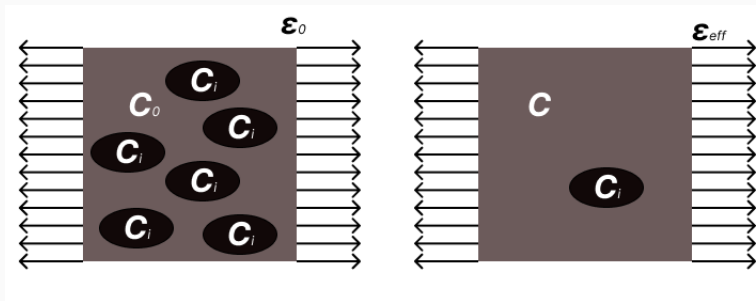


Схема Мори-Танаки:

Каждая из неоднородностей рассматривается как изолированная и помещается в однородное поле, равное среднему по матрице материала.

$$\mathbf{C}_{eff} = \mathbf{C}_0 + [\phi \mathbf{N}] \cdot \cdot [(1 - \phi) \mathbf{I} + \phi (\mathbf{C}_1 - \mathbf{C}_0)^{-1} \cdot \cdot \mathbf{N}]^{-1}$$

$$\mathbf{S}_{eff} = \mathbf{S}_0 + [\phi \mathbf{H}] \cdot \cdot [(1 - \phi) \mathbf{I} + \phi (\mathbf{S}_1 - \mathbf{S}_0)^{-1} \cdot \cdot \mathbf{H}]^{-1}$$

Схема Канауна-Левина:

Каждая неоднородность окружается некоторой зоной, характеризующей симметрию текстуры. Данная зона не пересекается с соседними.

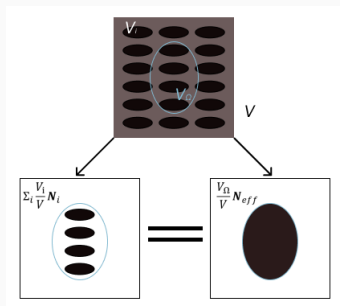
$$\mathbf{C}_{eff} = \mathbf{C}_0 + [(\phi \mathbf{N})^{-1} - \mathbf{P}(\alpha)]^{-1}, \quad \mathbf{S}_{eff} = \mathbf{S}_0 + [(\phi \mathbf{H})^{-1} - \mathbf{Q}(\alpha)]^{-1}$$

Тензоры вклада жесткости и податливости:

$$\mathbf{N}_i = (\mathbf{C}_i - \mathbf{C}_0) \cdot \cdot \mathbf{\Lambda}_{\epsilon}^i, \quad \mathbf{H}_i = (\mathbf{S}_i - \mathbf{S}_0) \cdot \cdot \mathbf{\Lambda}_{\sigma}^i$$

Схема Максвелла

Идея: возмущение поля в удаленной точке, создаваемое группой изолированных неоднородностей, равно возмущению поля в этой точке, создаваемое фиктивной областью Ω .



$$C_{eff} = C_0 + \left[\left(\frac{1}{V_\Omega} \sum_i V_i N_i \right)^{-1} - P_\Omega \right]^{-1}$$

$$S_{eff} = S_0 + \left[\left(\frac{1}{V_\Omega} \sum_i V_i H_i \right)^{-1} - Q_\Omega \right]^{-1}$$

Выбор формы области, окружающей неоднородности

Совпадение формы фиктивной области Ω в схеме Максвелла и области, окружающей неоднородность в схеме Канауна-Левина, с формой неоднородности обеспечивает совпадение этих схем.

В таком случае:

$$\mathbf{C}_{eff} = \mathbf{C}_0 + \phi \left\{ (1 - \phi) \mathbf{N}^{-1} + \phi (\mathbf{C}_1 - \mathbf{C}_0)^{-1} \right\}^{-1}$$

$$\mathbf{S}_{eff} = \mathbf{S}_0 + \phi \left\{ (1 - \phi) \mathbf{H}^{-1} + \phi (\mathbf{S}_1 - \mathbf{S}_0)^{-1} \right\}^{-1}$$

Учет ориентации неоднородностей

Вектор преимущественной ориентации неоднородностей:

$$\mathbf{m}(\phi, \theta) = \cos \theta \sin \phi \mathbf{e}_1 + \sin \theta \sin \phi \mathbf{e}_2 + \cos \phi \mathbf{e}_3$$

Функция ориентации неоднородностей:

$$\Psi_\lambda(\phi) = \frac{1}{2\pi} [(\lambda^2 + 1)e^{-\lambda\phi} + \lambda e^{-\lambda\frac{\pi}{2}}]$$

Осреднение тензорного базиса в случае случайного распределения направлений ($\lambda = 0$):

$$\langle T_i \rangle = \frac{1}{2\pi} \int_{\Phi} T_i d\Phi$$

Осреднение тензоров в тензорном базисе

$$\langle \mathbf{N} \rangle = \sum_i n_i \langle \mathbf{T}_i \rangle, \quad \langle \mathbf{H} \rangle = \sum_i h_i \langle \mathbf{T}_i \rangle$$

$$\langle \mathbf{A} \rangle = \sum_i a_i \langle \mathbf{T}_i \rangle = \sum_i \hat{a}_i \mathbf{T}_i$$

$$\hat{a}_1 = \frac{1}{15}(7a_1 + a_2 + 3a_3 + 3a_4 + 0.5a_5 + 2a_6)$$

$$\hat{a}_2 = \frac{1}{15}(2a_1 + 6a_2 - 2a_3 - 2a_4 + 3a_5 + 2a_6)$$

$$\hat{a}_3 = \hat{a}_4 = \frac{1}{15}(6a_1 - 2a_2 + 4a_3 + 4a_4 - a_5 + a_6)$$

$$\hat{a}_5 = \frac{1}{15}(4a_1 + 12a_2 - 4a_3 - 4a_4 + 6a_5 + 4a_6)$$

$$\hat{a}_6 = \frac{1}{15}(8a_1 + 4a_2 + 2a_3 + 2a_4 + 2a_5 + 3a_6)$$

Эффективные тензоры упругих модулей и податливости

В результате получена модель для определения эффективных упругих модулей неоднородного материала, учитывающая особенности формы и ориентации неоднородностей, а также их взаимодействие друг с другом.

1. Схема Мори-Танаки:

$$\mathbf{C}_{eff} = \mathbf{C}_0 + \phi \langle \mathbf{N} \rangle \cdot \cdot [(1 - \phi)\mathbf{I} + \phi(\mathbf{C}_1 - \mathbf{C}_0)^{-1} \cdot \cdot \langle \mathbf{N} \rangle]^{-1}$$

$$\mathbf{S}_{eff} = \mathbf{S}_0 + \phi \langle \mathbf{H} \rangle \cdot \cdot [(1 - \phi)\mathbf{I} + \phi(\mathbf{S}_1 - \mathbf{S}_0)^{-1} \cdot \cdot \langle \mathbf{H} \rangle]^{-1}$$

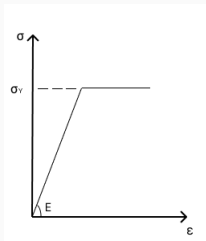
2. Схема Максвелла:

$$\mathbf{C}_{eff} = \mathbf{C}_0 + \phi \{ (1 - \phi) \langle \mathbf{N} \rangle^{-1} + \phi (\mathbf{C}_1 - \mathbf{C}_0)^{-1} \}^{-1}$$

$$\mathbf{S}_{eff} = \mathbf{S}_0 + \phi \{ (1 - \phi) \langle \mathbf{H} \rangle^{-1} + \phi (\mathbf{S}_1 - \mathbf{S}_0)^{-1} \}^{-1}$$

Пластичность

Используется модель идеального упругопластического тела ($\sigma_Y = const$).



В качестве критерия начала пластичности используется критерий Мизеса:

$$\frac{3}{2} dev(\boldsymbol{\sigma}) \cdot dev(\boldsymbol{\sigma}) = \sigma_Y^2$$

Эффективный предел текучести

Предположение: пористость материала не влияет на значения деформаций, при которых начинается пластическое течение.

При условии начала пластического течения пористого материала ($\phi = 0$):

$$tr(\epsilon^2) = \frac{1}{2\mu_0^2} \left[\tau_*^2 + \frac{(1 - 2\nu_0)^2}{6(1 + \nu_0)^2} tr^2(\sigma) \right]$$

В случае ненулевой пористости:

$$tr(\epsilon^2) = \sigma \cdot \cdot \left[(S_0 + \tilde{H}) \cdot \cdot (S_0 + \tilde{H}) \right] \cdot \cdot \sigma$$

$$\tilde{H} = (1 - \phi)^{-1} \phi H = (1 - \phi)^{-1} \phi \sum_i h_i T_i$$

Эффективный предел текучести:

$$\tau_*^2 = \frac{1}{2} (A_1 tr^2(\sigma) + A_2 dev(\sigma) \cdot \cdot dev(\sigma))$$

Верификация моделей для определения эффективных упругих модулей

Верификация данных для модели определения упругих модулей проводится с использованием экспериментальных данных, полученных для пористого алюминия (AlMg1Si0.6), которые были описаны в работе [1]. Определение модуля Юнга в этой работе происходит по свободным колебаниям образца.

Цилиндрический образец с диаметром $d = 17$ мм и длиной $L = 300$ мм подвергался продольным вибрациям методом ударного молота [2]. Объем образца был вычислен по формуле $V = \pi \frac{d^2}{4} L$. В качестве формы неоднородности использовался сфероид с соотношением сторон $\gamma = \frac{b}{a} = 0.7$. Упругие модули матрицы: $E_0 = 70$ ГПа, $\nu_0 = 0.33$. Варьирование объемной доли производилось за счет изменения определяющего размера неоднородности.

[1] Sevostianov I., Kováčik J., Šimančík F. Elastic and electric properties of closed-cell aluminum foams: Cross-property connection // Materials Science and Engineering: A. – 2006. – Т. 420. – №. 1-2. – С. 87-99.

[2] Bruel K., Kjaer L. Mechanical Vibration and Shock Measurements, K // Larsen Son, Soborg. – 1980.

Верификация моделей для определения эффективных упругих модулей

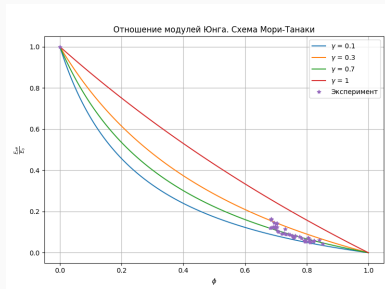
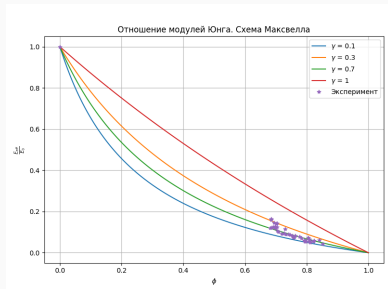


Figure 1: Зависимость отношения модулей Юнга в зависимости от пористости ϕ при разных γ .

Верификация моделей для определения эффективных упругих модулей

Отклонение $\delta = \sum_{i=1}^N \frac{|E_{exp}^i - E_{mod}^i|}{N}$, где $E_{index} = \frac{E_{eff}}{E_0}$ от экспериментальных данных при различных значениях соотношений сторон сфероида γ . Наилучшее сходство с экспериментальными данными получено при $\gamma = 0.7$, что говорит о корректности построенной модели. Отклонение в этом случае составило $\delta = 0.0113$. Отклонения моделей составило $\delta = 4e^{-17}$ отношений модулей Юнга.

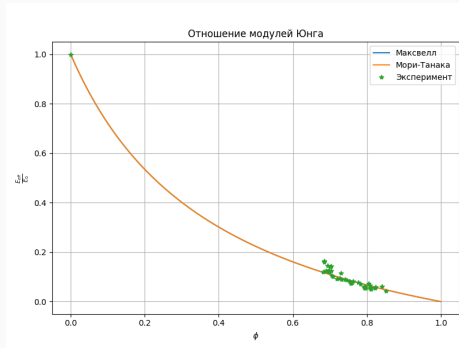


Figure 2: Зависимость отношения модулей Юнга в зависимости от пористости ϕ при $\gamma = 0.7$.

Верификация модели для определения эффективного предела текучести

Верификация данных проводится с использованием результатов численной симуляции нагружения пористого алюминия, описанной в работе [3]. Упругие модули матрицы и пор: $K_0 = 77.9$ ГПа, $\mu_0 = 24.9$ ГПа, $K_1 = 0.0001$ Па, $\mu_1 = 0.0001$ Па соответственно. Поры моделируются сферами ($\gamma = 1$). Число пор в процессе расчетов остается неизменным и равным 20. Репрезентативный объем $V = 1\text{м}^3$. Варьирование объемной доли производилось за счет изменения определяющего размера неоднородности. Для определения предела текучести использовался график напряженно-деформированного состояния материала при различных значениях пористости ϕ .

Пористость	0.048	0.113	0.15	0.221	0.268
Предел текучести, МПа	36.67	32.65	30.81	25.10	22.42

Table 1: Предел текучести при различных значениях пористости ϕ

Верификация модели для определения эффективного предела текучести

Среднее отклонение от результатов симуляции составляет:

$$\delta = \sum_{i=1}^N \frac{|\tau_{exp}^i - \tau_{mod}^i|}{\tau_{exp}^i N} = 0.381.$$

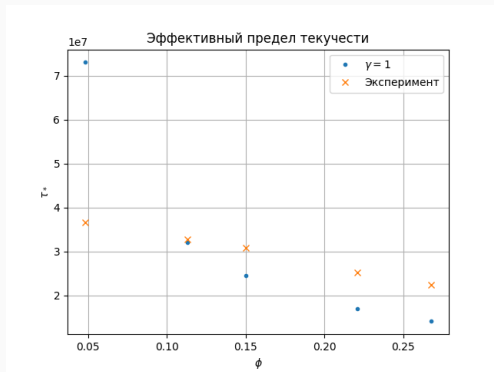


Figure 3: Зависимость предела текучести τ_* в зависимости от пористости ϕ при $\gamma = 1$

Заключение

- Построены модели для нахождения эффективных упругих модулей;
- Модели, использующие разные энергетические схемы учета взаимодействия, практически не имеют разницы в полученных результатах;
- Отклонение между моделями составило $\delta = 4e^{-17}$.
- Отклонение между моделями и экспериментом составило $\delta = 0.0113$;
- Построена модель для нахождения эффективного предела текучести;
- Отклонение между моделью и экспериментом составило $\delta = 0.381$;

СПАСИБО ЗА ВНИМАНИЕ!